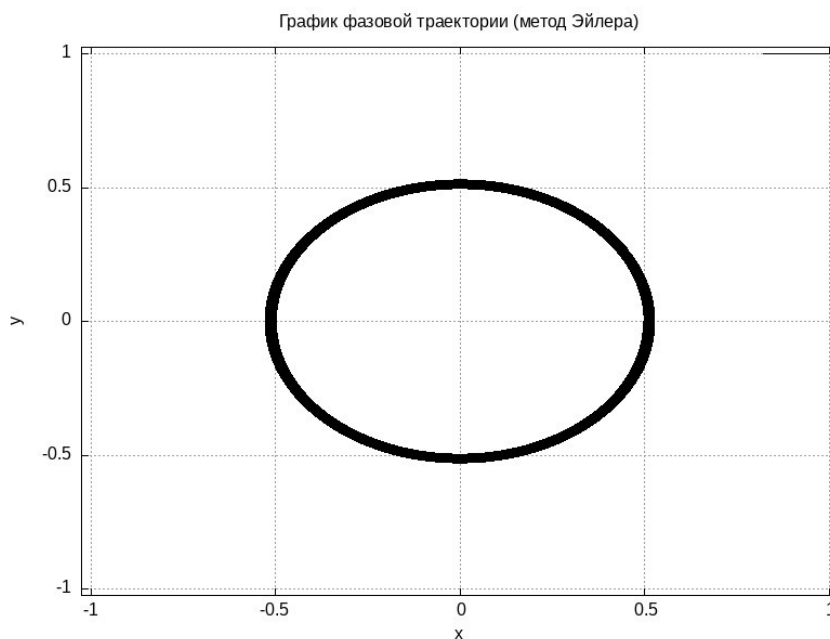
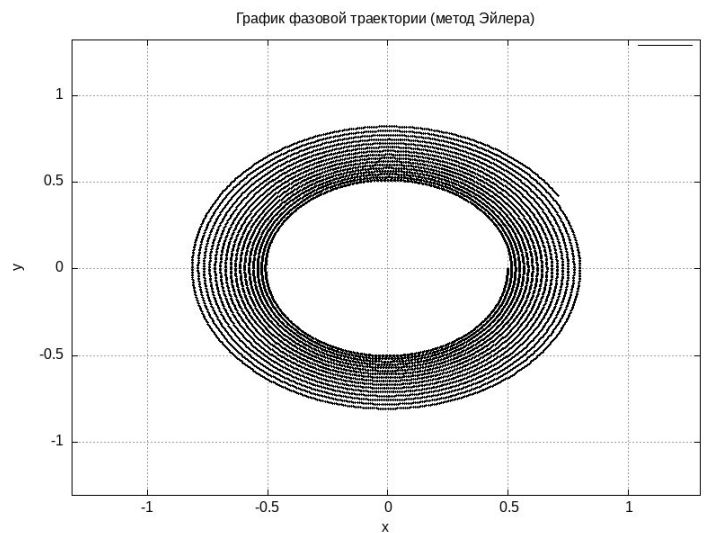
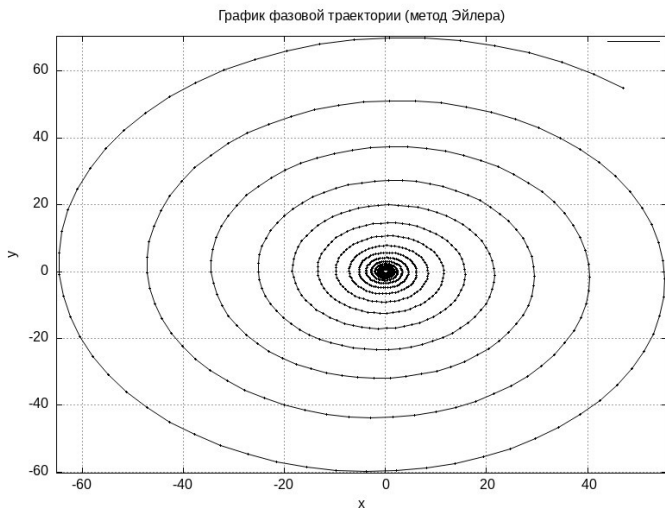


# Исследование точностей методов численного интегрирования осциллятора Ван дер Поля

## Метод Эйлера

Данный метод является простейшим явным методом и наименее точным из всех рассмотренных методов, порядок метода – 1, глобальная ошибка –  $O(h)$ . Построим графики фазовой траектории и графики зависимости  $x$  от  $t$  при различных  $h$  (0.1, 0.01 и 0.001)  $\mu = 0$  и  $\mu = 2$ . При  $\mu = 0$  получаем:



При большом значении  $h$  (0.1 и 0.01) график фазовой траектории при  $\mu = 0$  совсем не похож на эллипс, при  $h = 0.001$  график можно назвать эллипсом, но он имеет очень толстые линии.

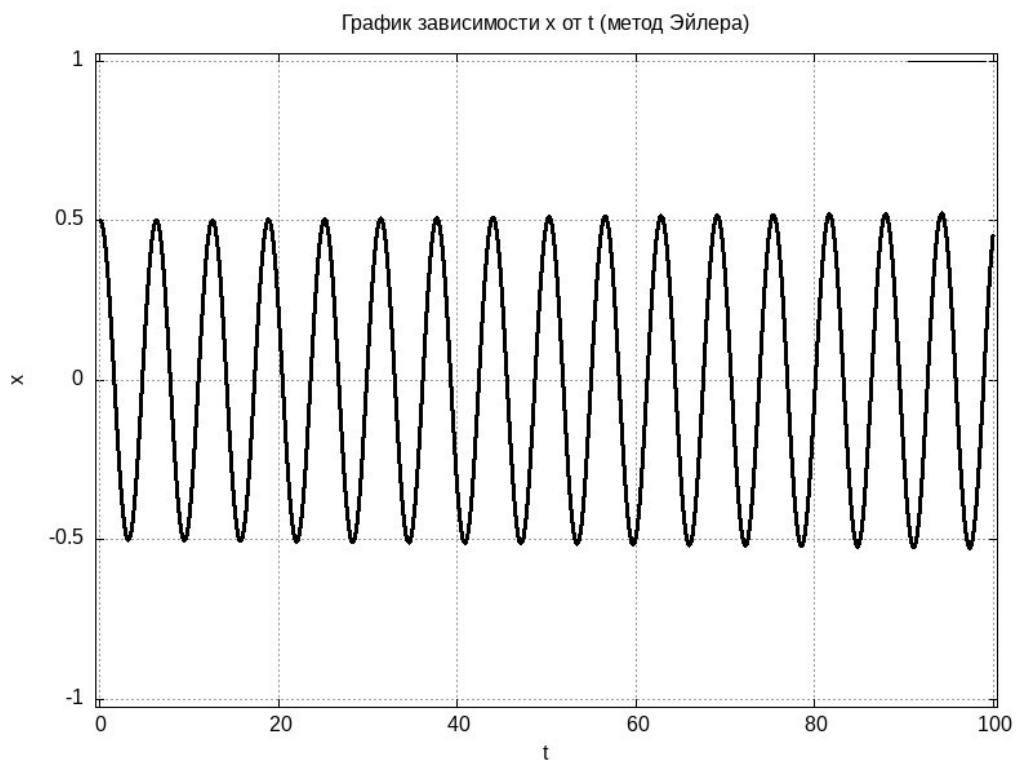
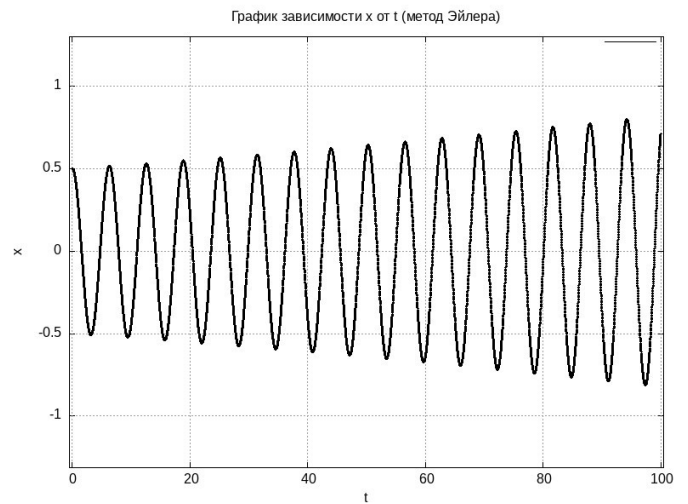
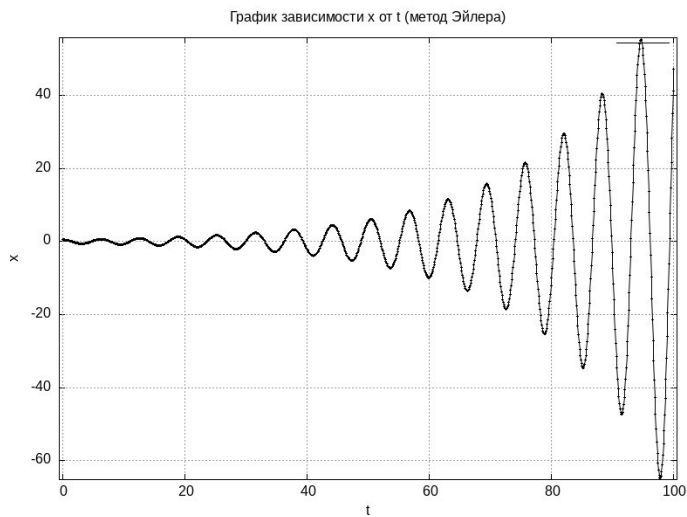


График зависимости  $x$  от  $t$  при  $h = 0.1$  достаточно быстро теряет периодичность и уходит за пределы отрезка  $[-0.5, 0.5]$ . При  $h = 0.01$  график начинает выходить за пределы отрезка при  $t > 10$ . Если же  $h = 0.001$ , то метод показывает результат получше, но всё же при увеличении  $t$  видно, что значения  $x$  немного выходят из промежутка.

При  $\mu = 2$  получаем следующие графики:

График фазовой траектории (метод Эйлера)

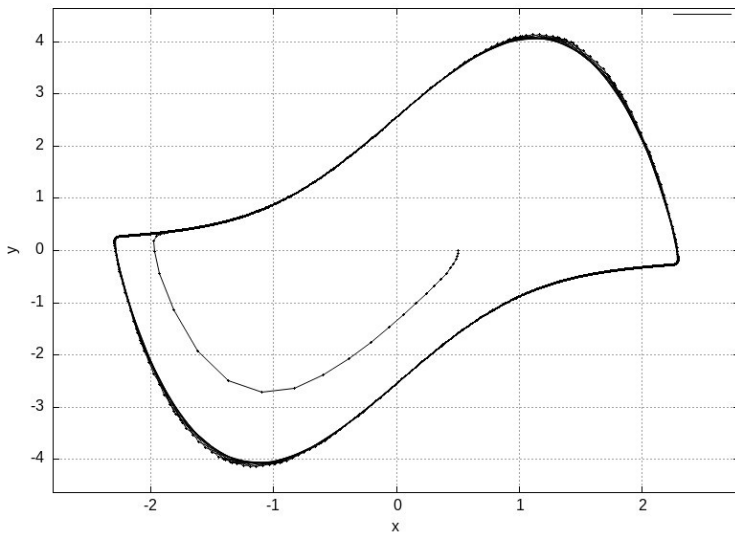


График фазовой траектории (метод Эйлера)

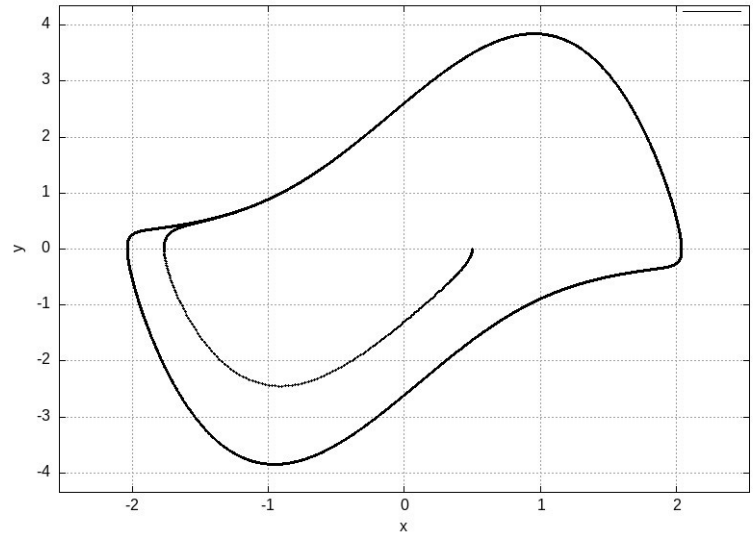
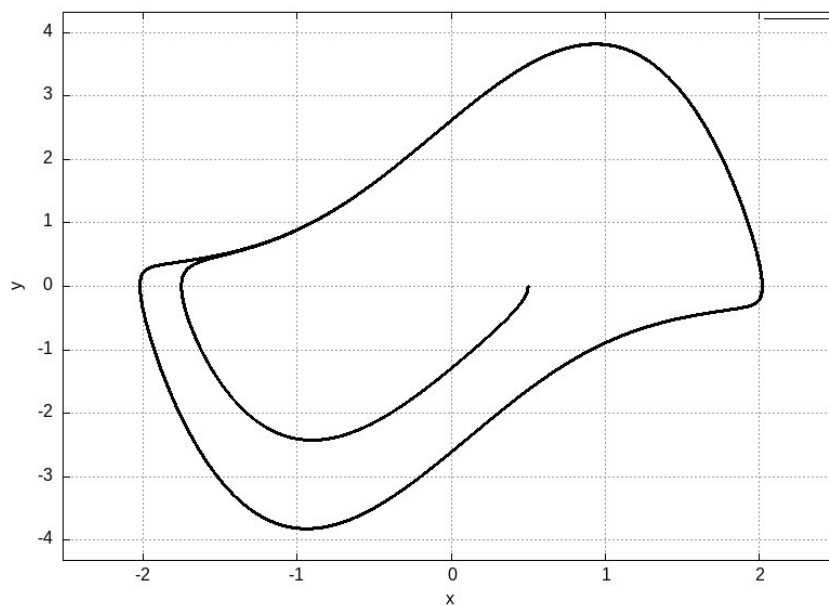


График фазовой траектории (метод Эйлера)



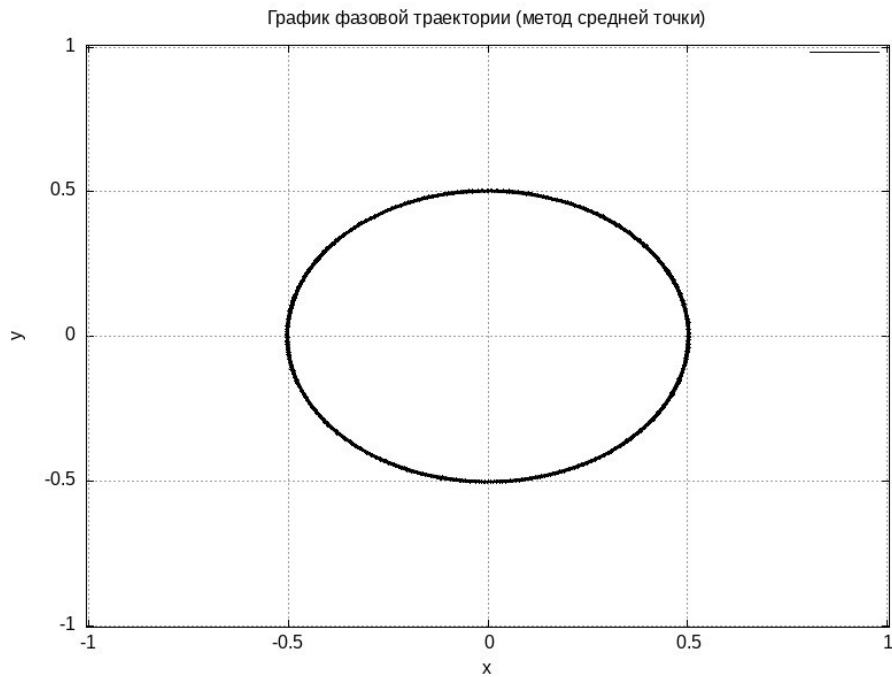
При уменьшении значения  $h$  график всё больше начинает быть похожим на график осциллятора, при больших значениях  $h$  на графиках видны участки, где толщина линии больше, то есть на каком-то этапе метод прошёл по другой траектории.

Графики для зависимости  $x$  от  $t$  можно посмотреть в паке `research/images`, аналогично графикам при  $\mu = 2$  при уменьшении  $h$  лучше сохраняют периодичность и содержатся в отрезке  $[-2, 2]$ , хотя стоит отметить, что при большом  $h$  значения не так сильно увеличиваются, как это было при  $\mu = 0$ .

### **Явный метод средней точки**

Порядок метода – 1, глобальная ошибка –  $O(h^2)$ .

Построим графики фазовой траекторий и графики зависимости  $x$  от  $t$  при различных  $h$  (0.1, 0.01 и 0.001)  $\mu = 0$  и  $\mu = 2$ . При  $\mu = 0$  получаем:



Даже при большом  $h = 0.1$  получаем график эллипса, видна большая разница в сравнении с методом Эйлера.

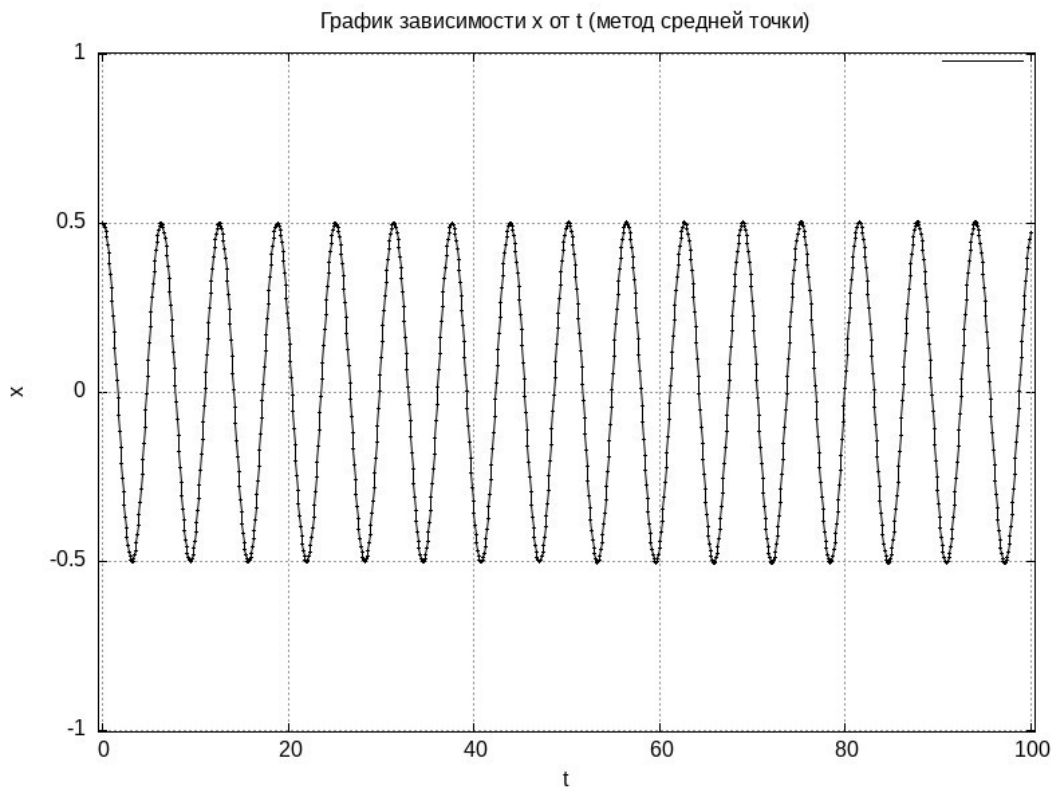
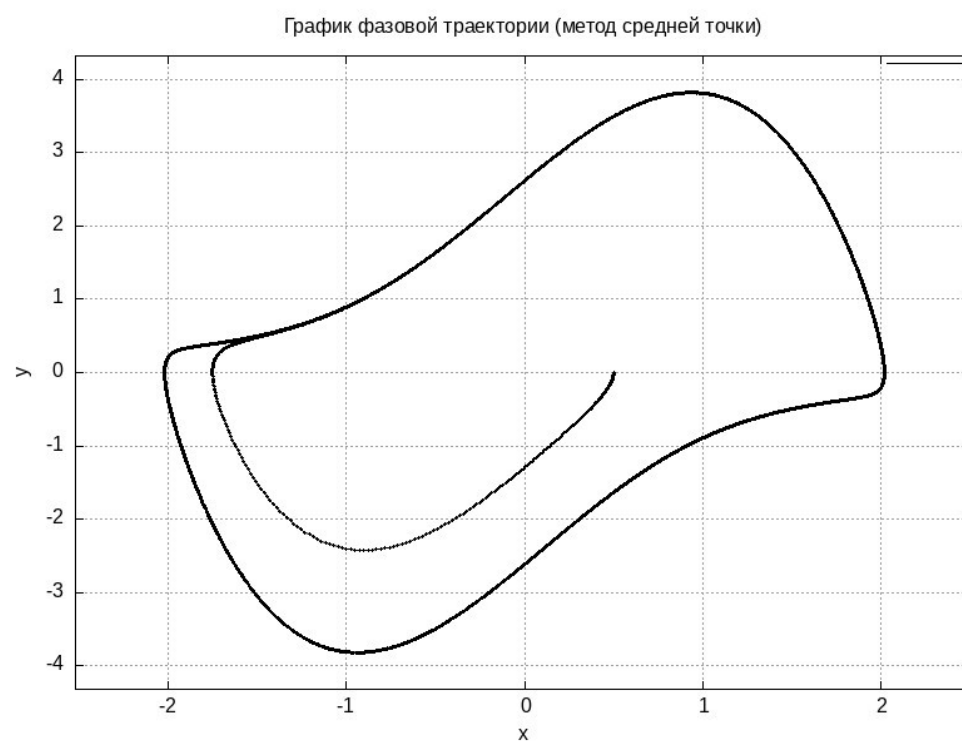
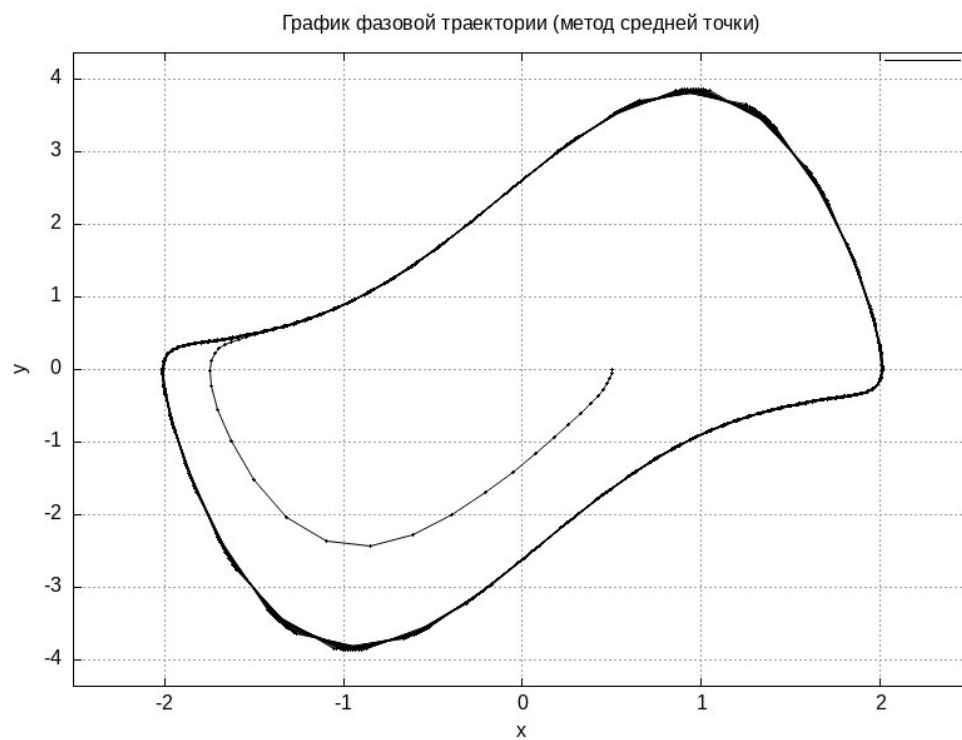


График зависимости  $x$  от  $t$  сохраняет имеет периодичность и не уходит в бесконечность при увеличении  $t$ , значения содержатся в нужном отрезке.

Графики при меньших значениях  $h$  можно посмотреть в папке `research/images`, они не представляют сильный интерес, т.к. не отличаются от данных графиков, на них значения становятся точнее.

Графики при  $h = 0.1$ ,  $h = 0.01$  и  $\mu = 2$ :

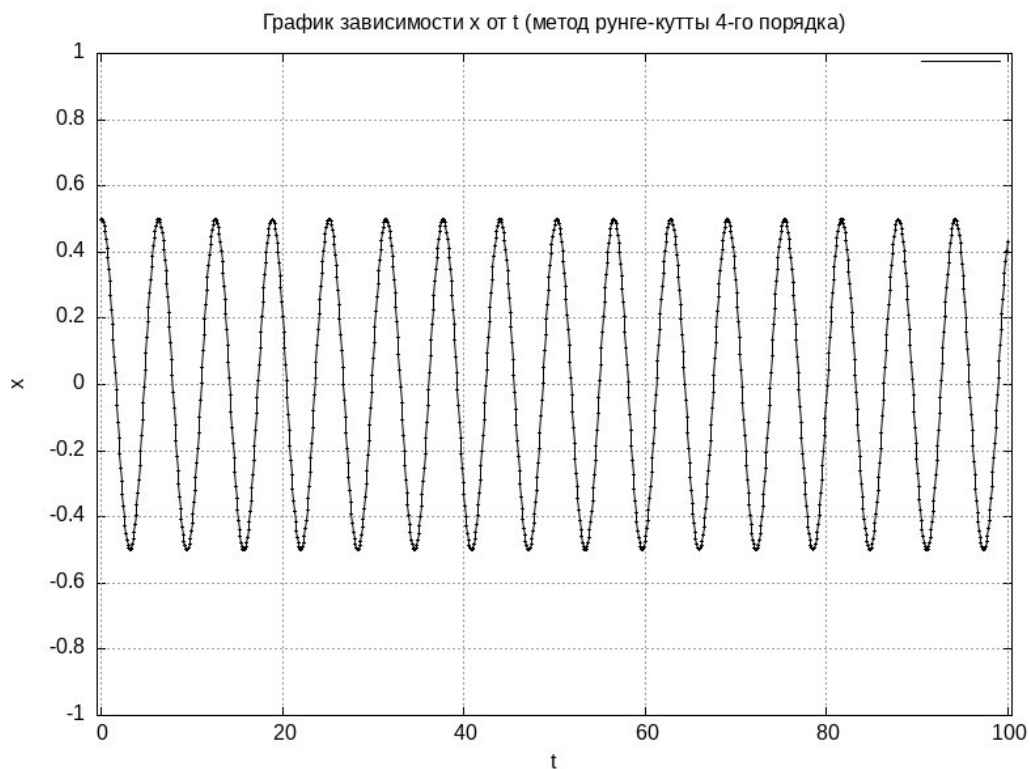
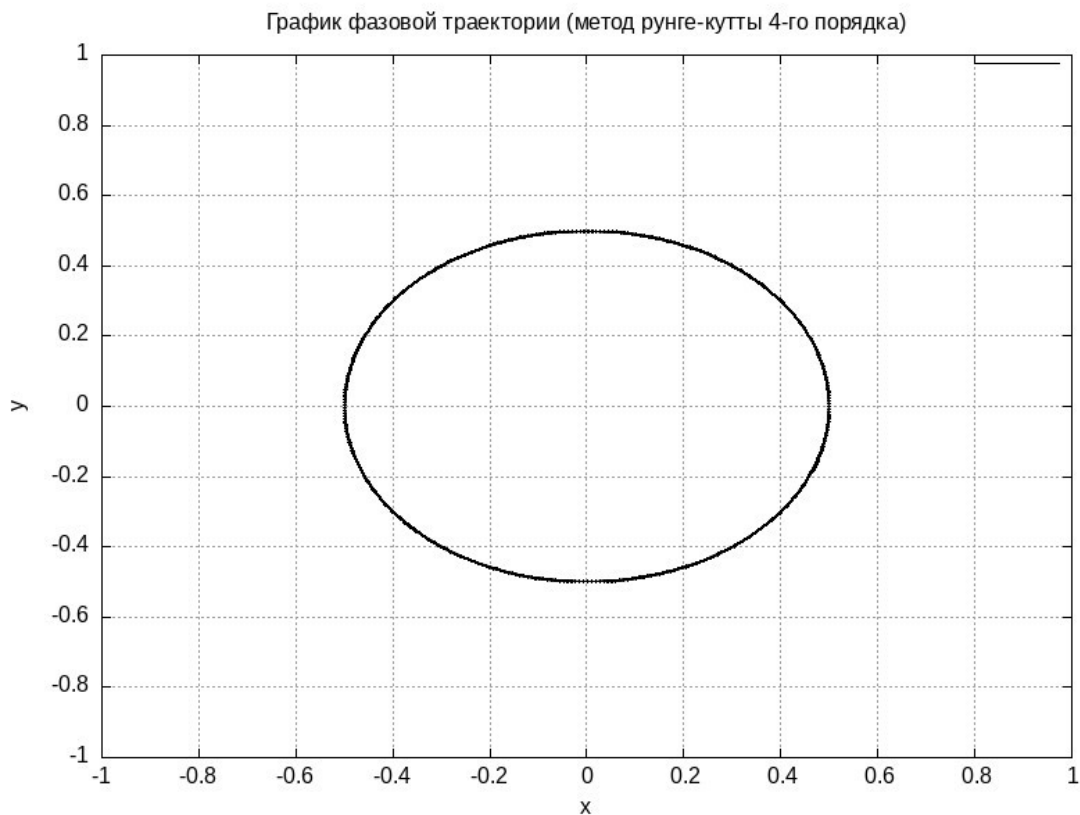


При  $h = 0.1$  график всё также имеет неточности, при  $h = 0.01$  становится лучше.

## Классический метод Рунге-Кутты 4 порядка

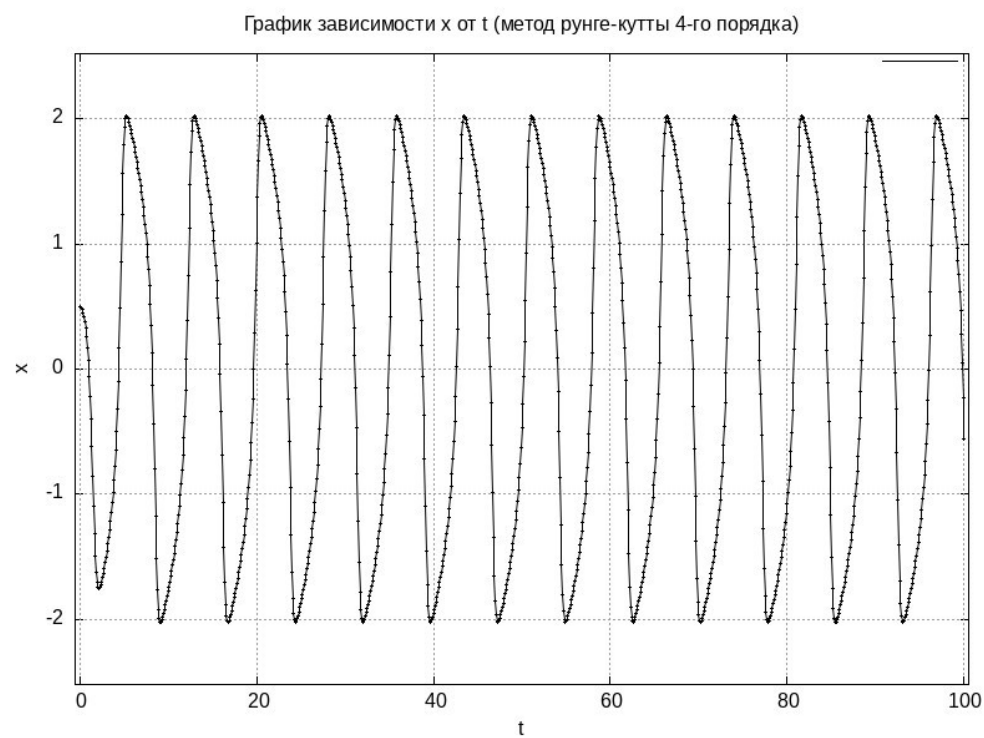
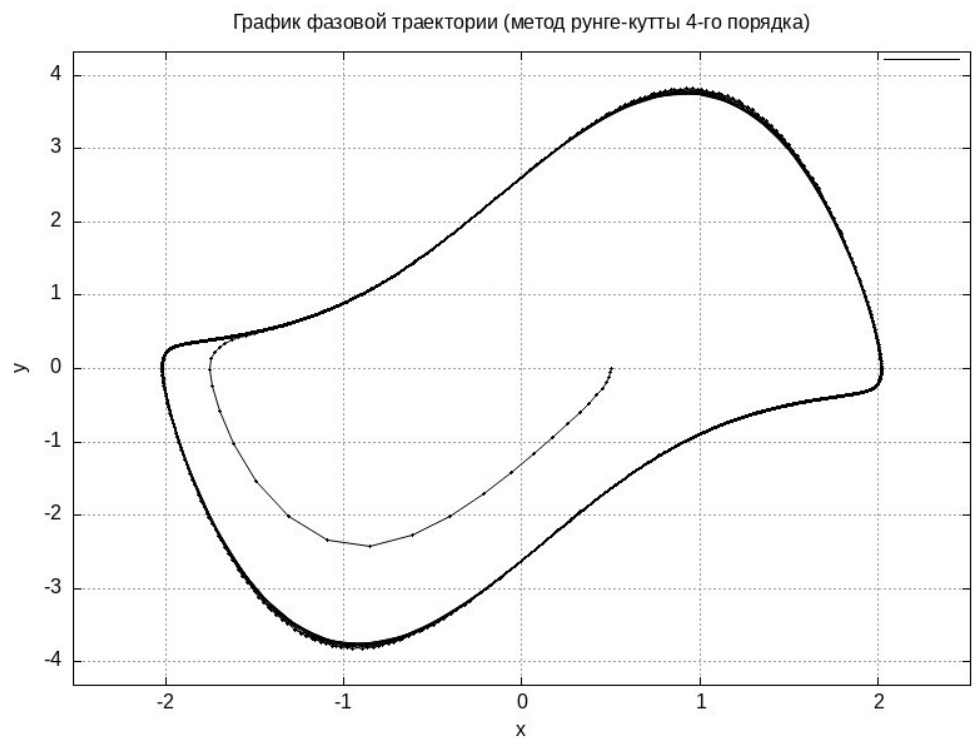
Порядок метода – 4, глобальная ошибка –  $O(h^4)$ .

Построим графики фазовой траектории и графики зависимости  $x$  от  $t$  при различных  $h$  (0.1, 0.01 и 0.001)  $\mu = 0$  и  $\mu = 2$ . При  $\mu = 0$  получаем:

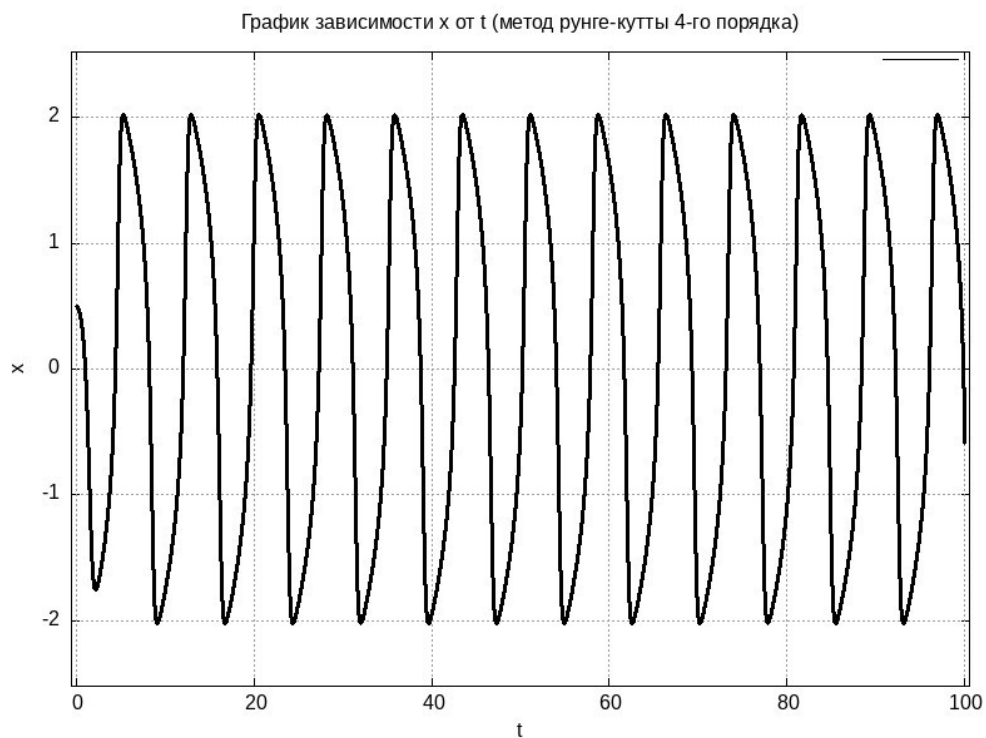
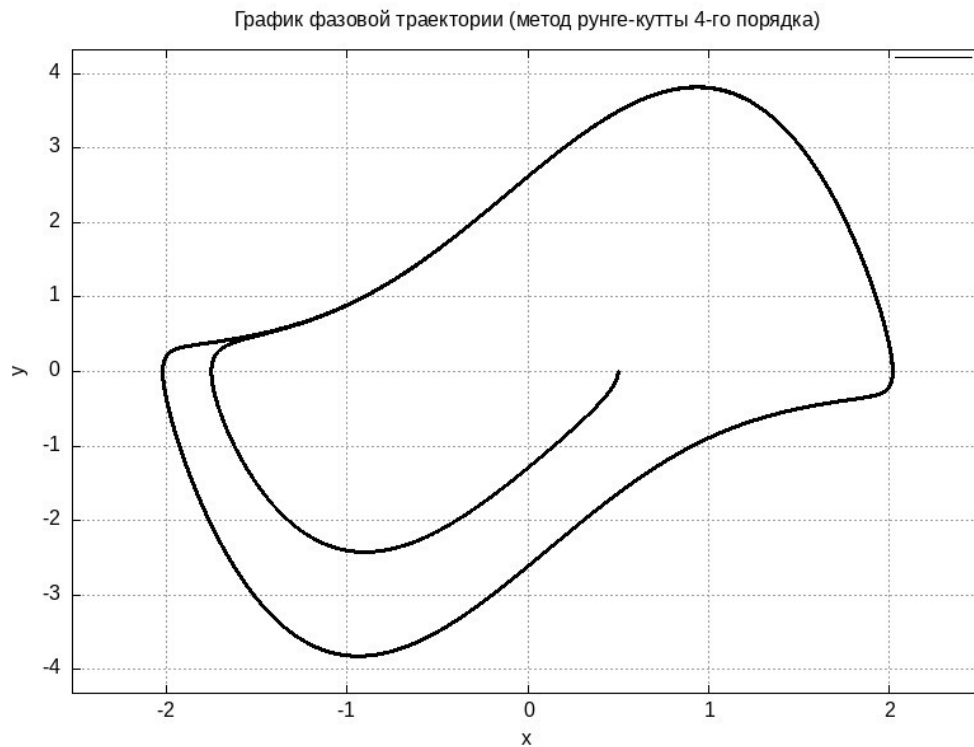


Даже при большом значении  $h$  графики выглядят хорошо, т.к. метод имеет большой порядок и маленькую ошибку.

При  $\mu = 2$  и  $h = 0.1$  получаем:



При  $\mu = 2$  и  $h = 0.001$  получаем:



### Неявный метод средней точки и неявный метод трапеций

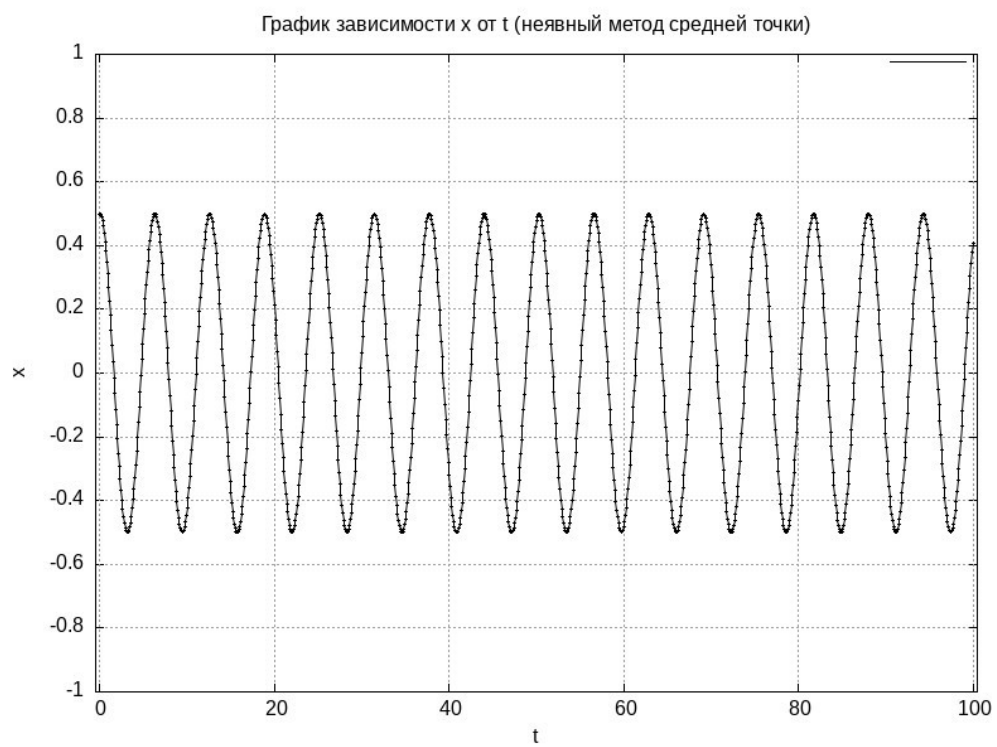
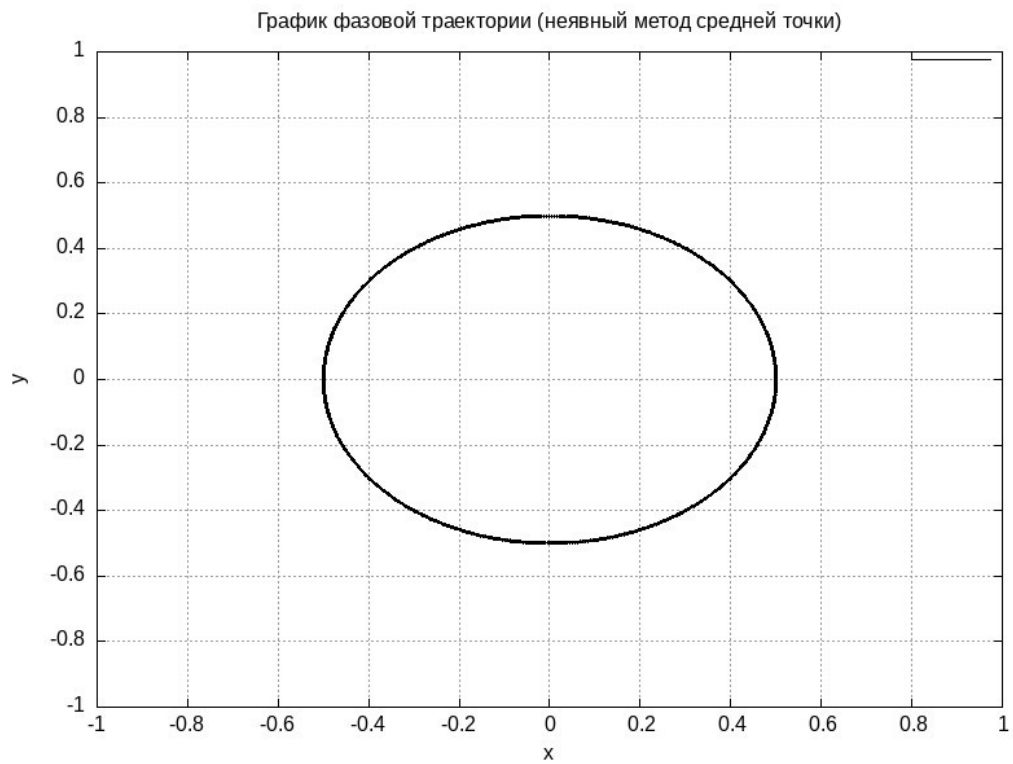
Порядок методов – 2, глобальная ошибка –  $O(h^2)$ .

Неявные методы Рунге-Кутты применяются для «жестких» систем ОДУ, в которых применение явных методов Рунге-Кутты приводит к проблемам с устойчивостью.

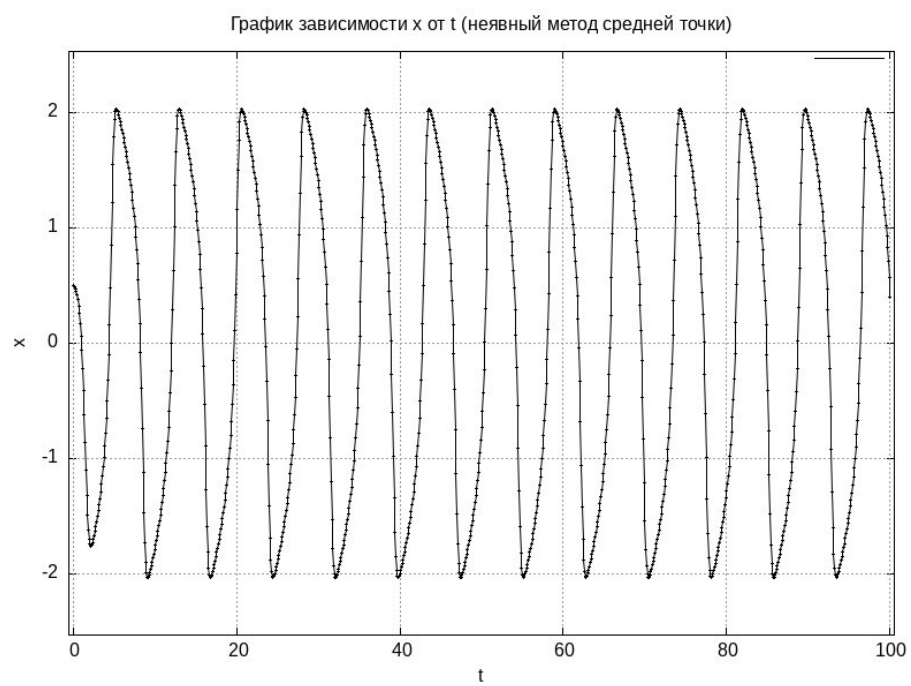
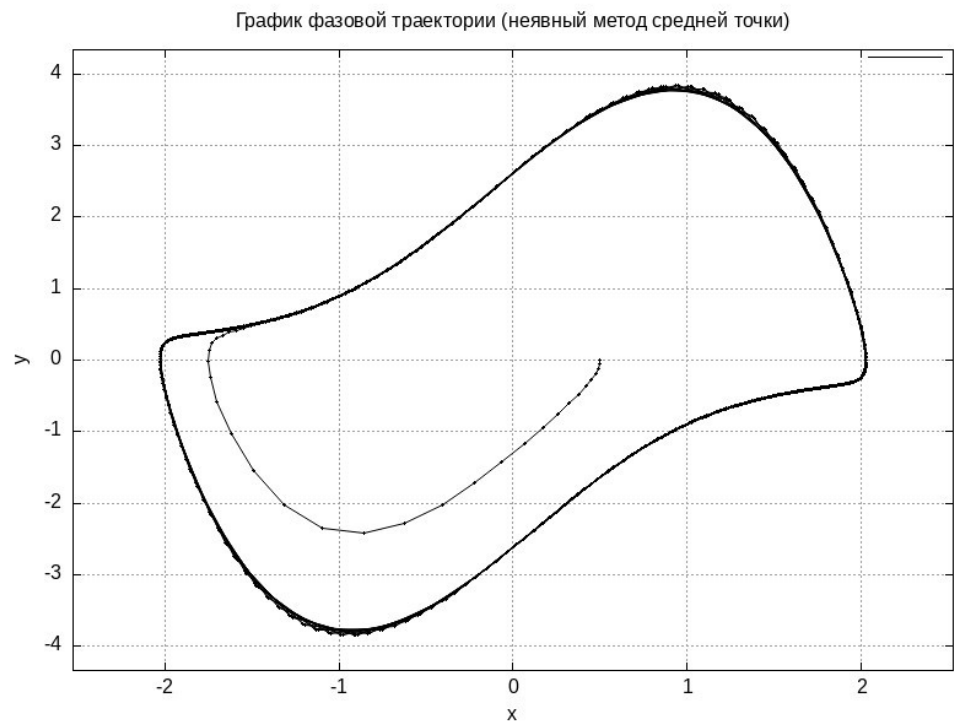
Построим графики фазовой траектории и графики зависимости  $x$  от  $t$  при различных  $h$  (0.1, 0.01 и 0.001)  $\mu = 0$  и  $\mu = 2$ .

При  $\mu = 0$  и  $h = 0.1$  получаем:

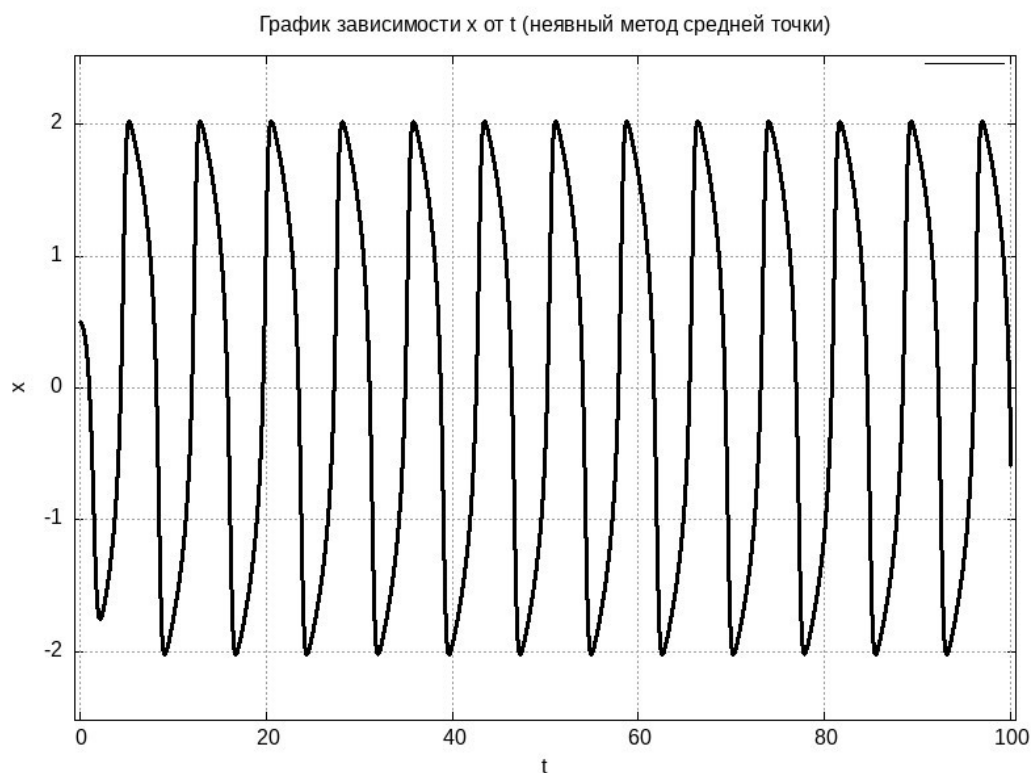
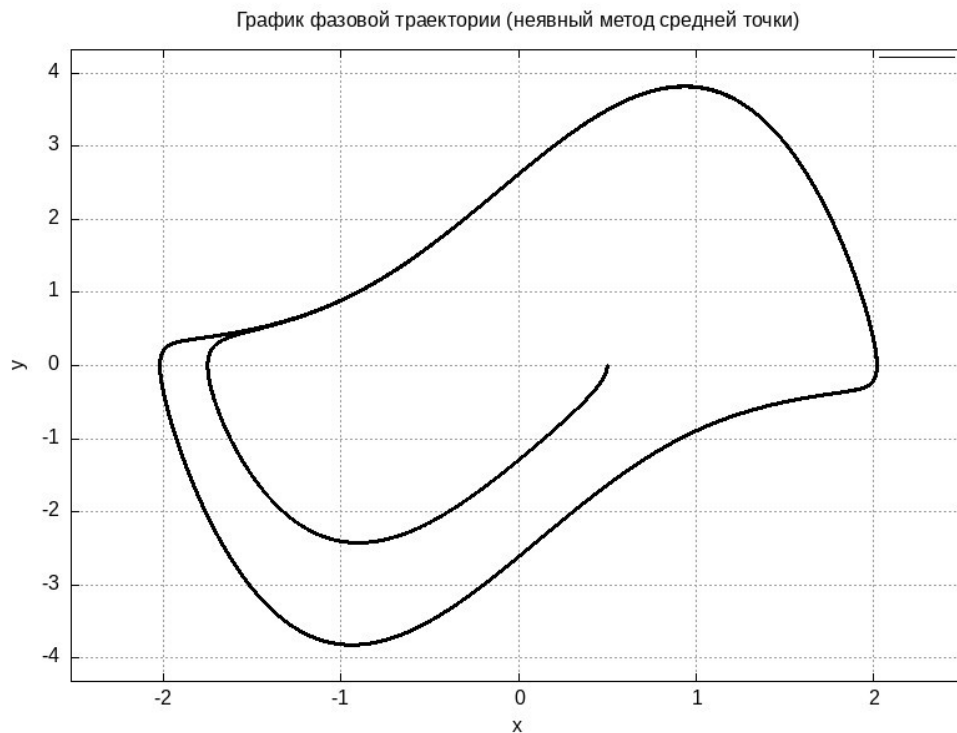




При  $\mu = 2$  и  $h = 0.1$  получаем:



При  $\mu = 2$  и  $h = 0.001$  получаем:



Графики для неявного метода трапеций схожи с данными графиками, они расположены в `research/images/ellipse` и `research/images/graphics`.

### **Метод Адамса-Башфорта-Мултона 2 порядка**

Порядок метода – 2, глобальная ошибка –  $O(h^2)$ .

Является многошаговым методом, что увеличивает константу ошибки по сравнению с одношаговыми методами второго порядка.

Построим графики фазовых траекторий и графики зависимости  $x$  от  $t$  при различных  $h$  (0.1, 0.01 и 0.001)  $\mu = 0$  и  $\mu = 2$ . Графики расположены в

research/images/ellipse и research/images/graphics, ABM2\_1 при  $h = 0.1$ , ABM2\_2 при  $h = 0.01$  и AMB2\_3 при  $h = 0.001$ .

### **Метод Адамса-Башфорта-Мултона 4 порядка**

Порядок метода – 4, глобальная ошибка –  $O(h^4)$ .

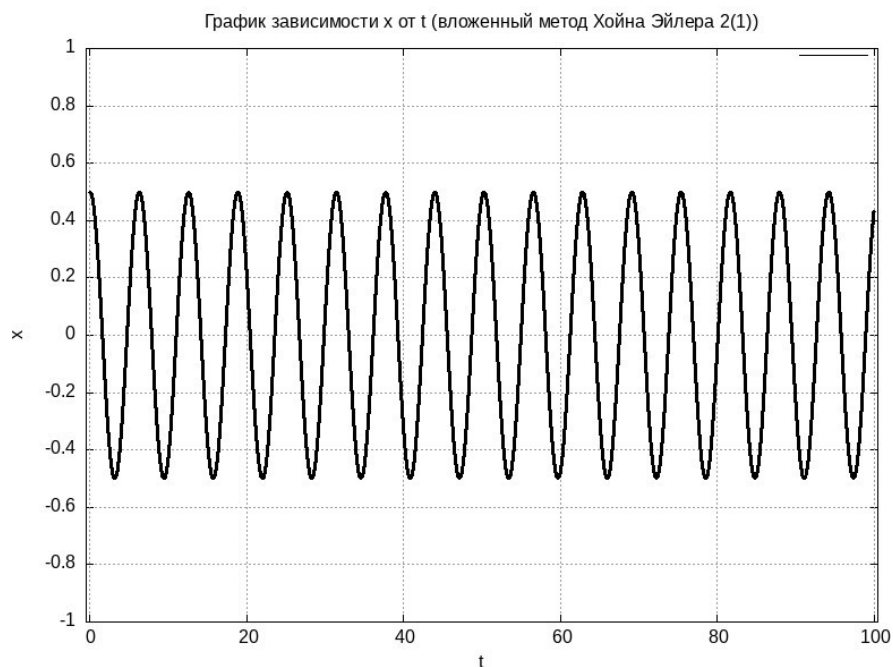
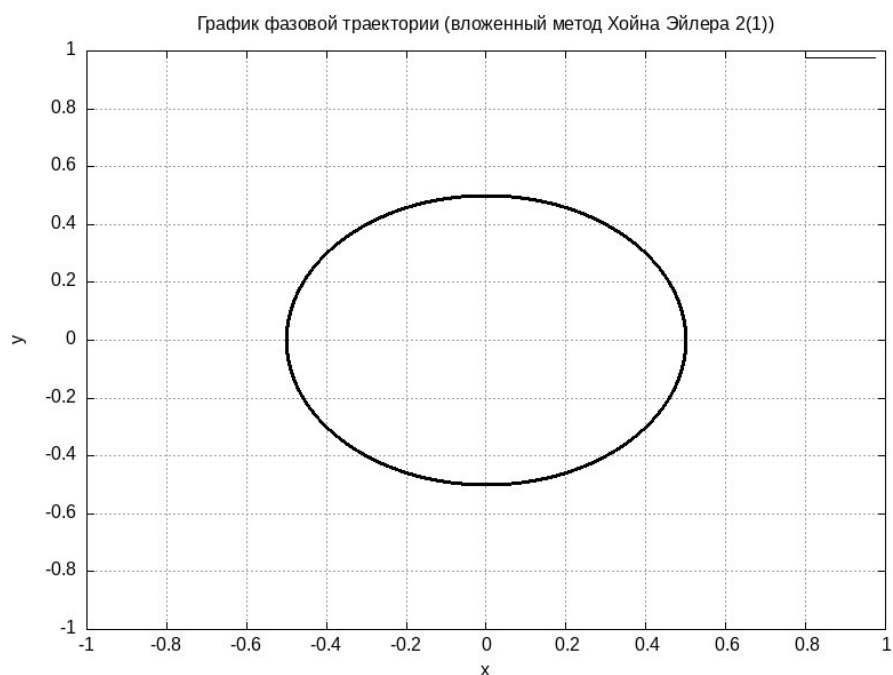
Является многошаговым методом, что увеличивает константу ошибки по сравнению с одношаговыми методами четвертого порядка.

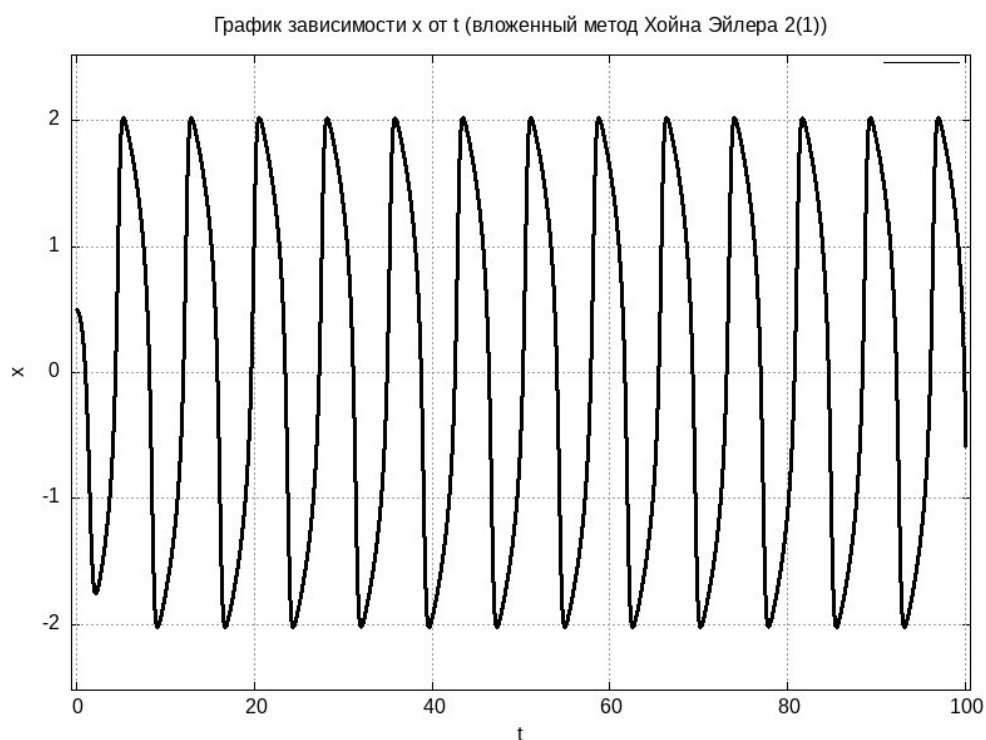
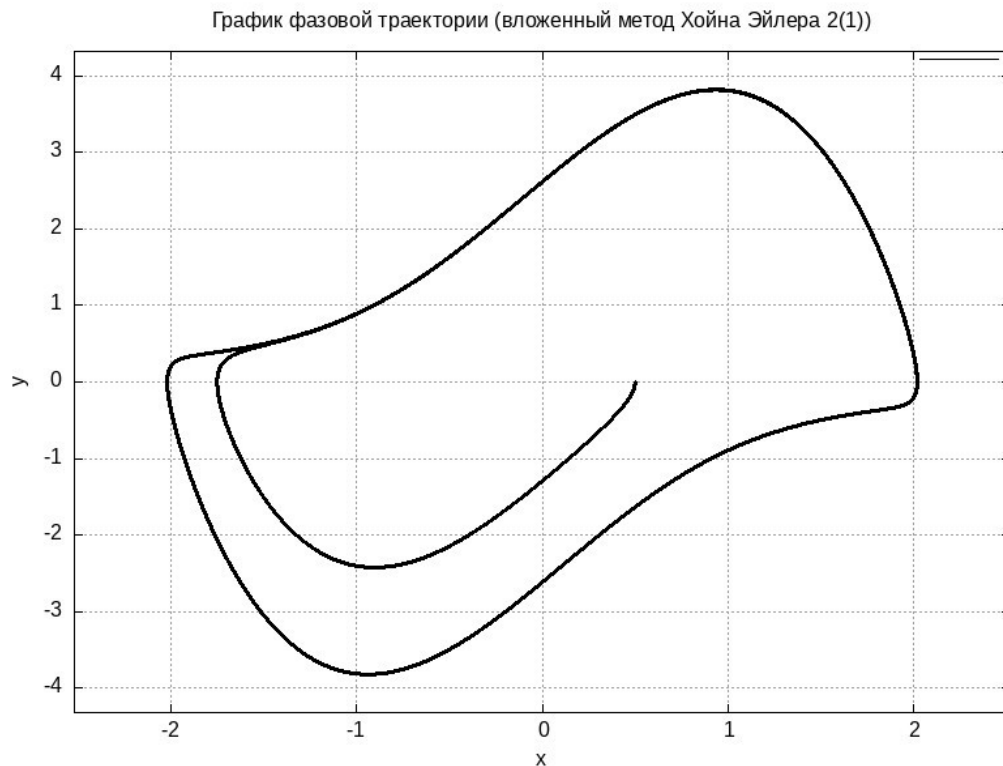
Построим графики фазовых траекторий и графики зависимости  $x$  от  $t$  при различных  $h$  (0.1, 0.01 и 0.001)  $\mu = 0$  и  $\mu = 2$ . Графики расположены в research/images/ellipse и research/images/graphics, ABM4\_1 при  $h = 0.1$ , ABM2\_4 при  $h = 0.01$  и AMB4\_3 при  $h = 0.001$ .

### **Метод Хойна-Эйлера с адаптивным шагом**

Порядок метода – 2, глобальная ошибка –  $O(h^2)$ .

Адаптивность позволяет снизить ошибку эффективнее, чем методы второго порядка с фиксированным шагом, но асимптотически уступает методам 4 порядка.





Метод за счёт адаптивности сгенерировал достаточно много точек для  $\mu = 2 - 193985$ , меньше для  $\mu = 0 - 62501$ .

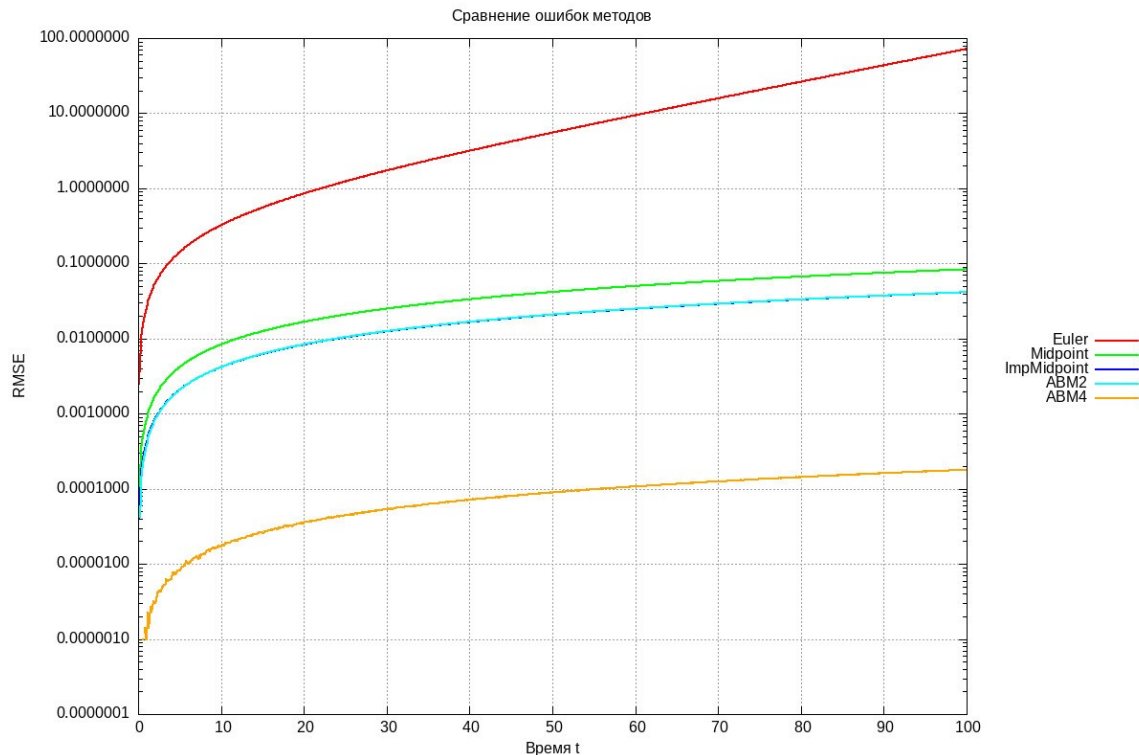
### Сравнение методов

Среди реализованных методов самую лучшую асимптотику ошибки имеет классический метод Рунге-Кутты 4 порядка и метод Адамса-Башфорта-Мултона 4 порядка, но метод Адамса-Башфорта-Мултона является многошаговым, поэтому любые погрешности в предыдущих шагах влияют на все последующие

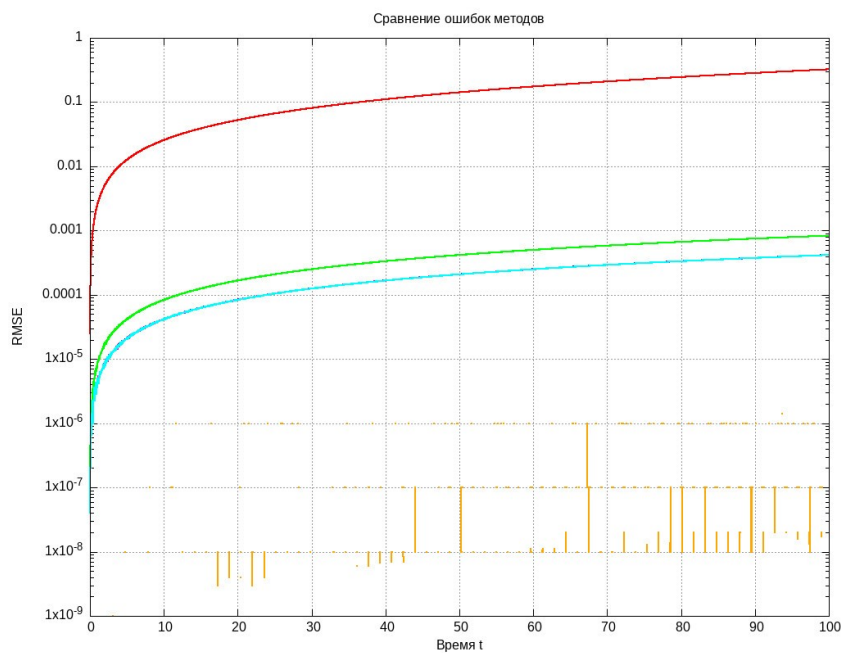
расчёты. Для сравнения методов за эталонные значения будем считать значения, полученные методом Рунге-Кутты 4 порядка.

Вычислим среднеквадратичную разницу между численным и эталонным решением для каждого метода.

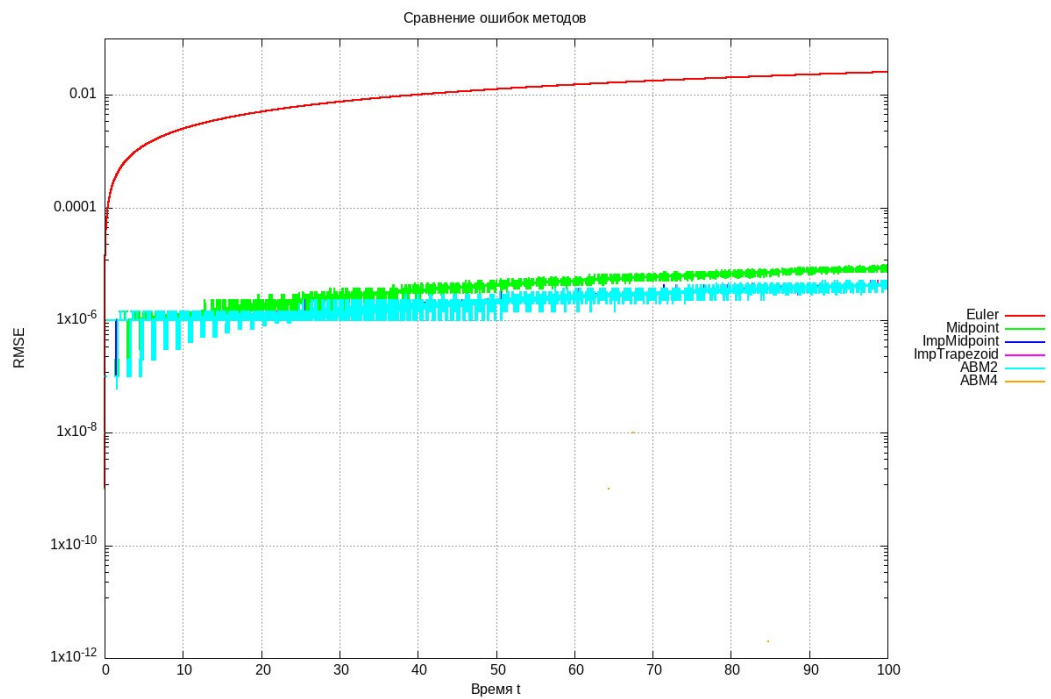
Построим график при  $h = 0.1$  и  $\mu = 0$ :



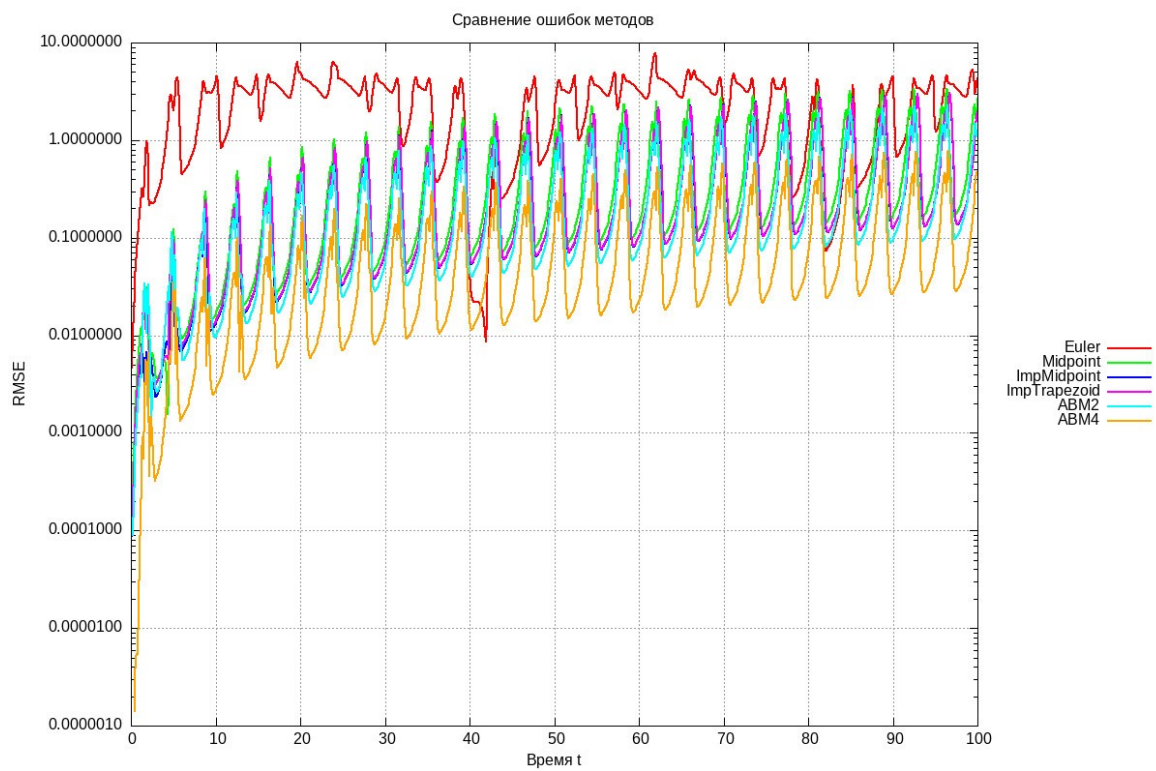
Построим график при  $h = 0.01$  и  $\mu = 0$ :



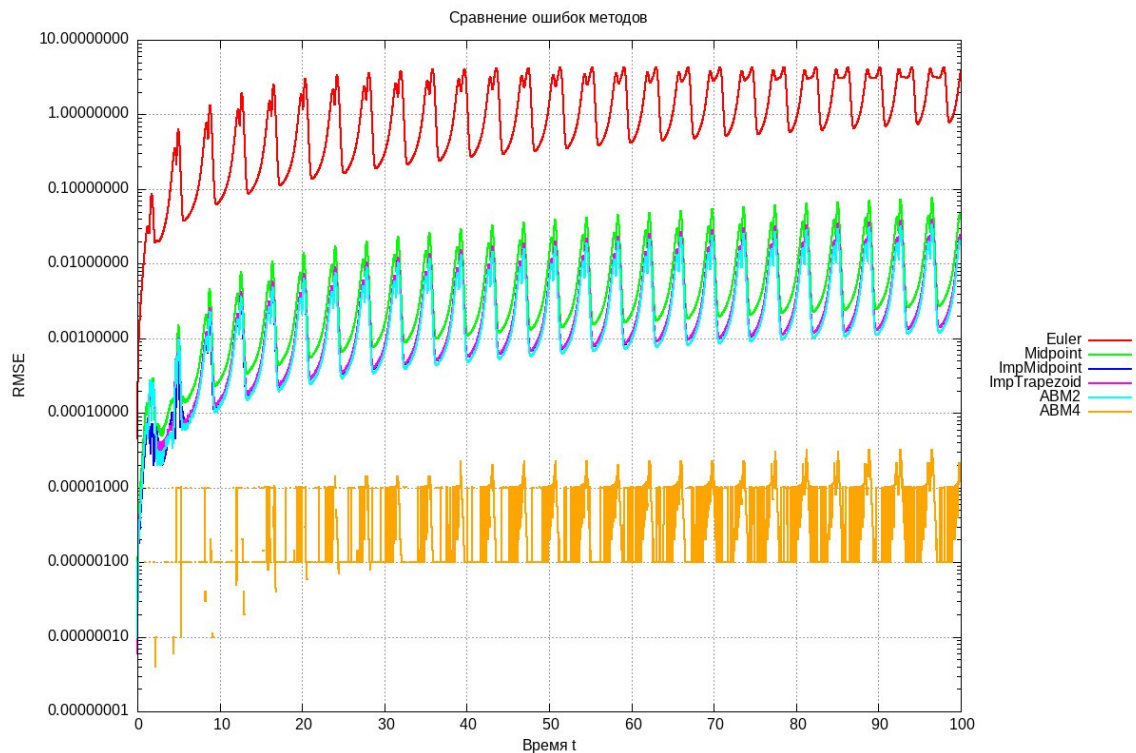
Построим график при  $h = 0.001$  и  $\mu = 0$ :



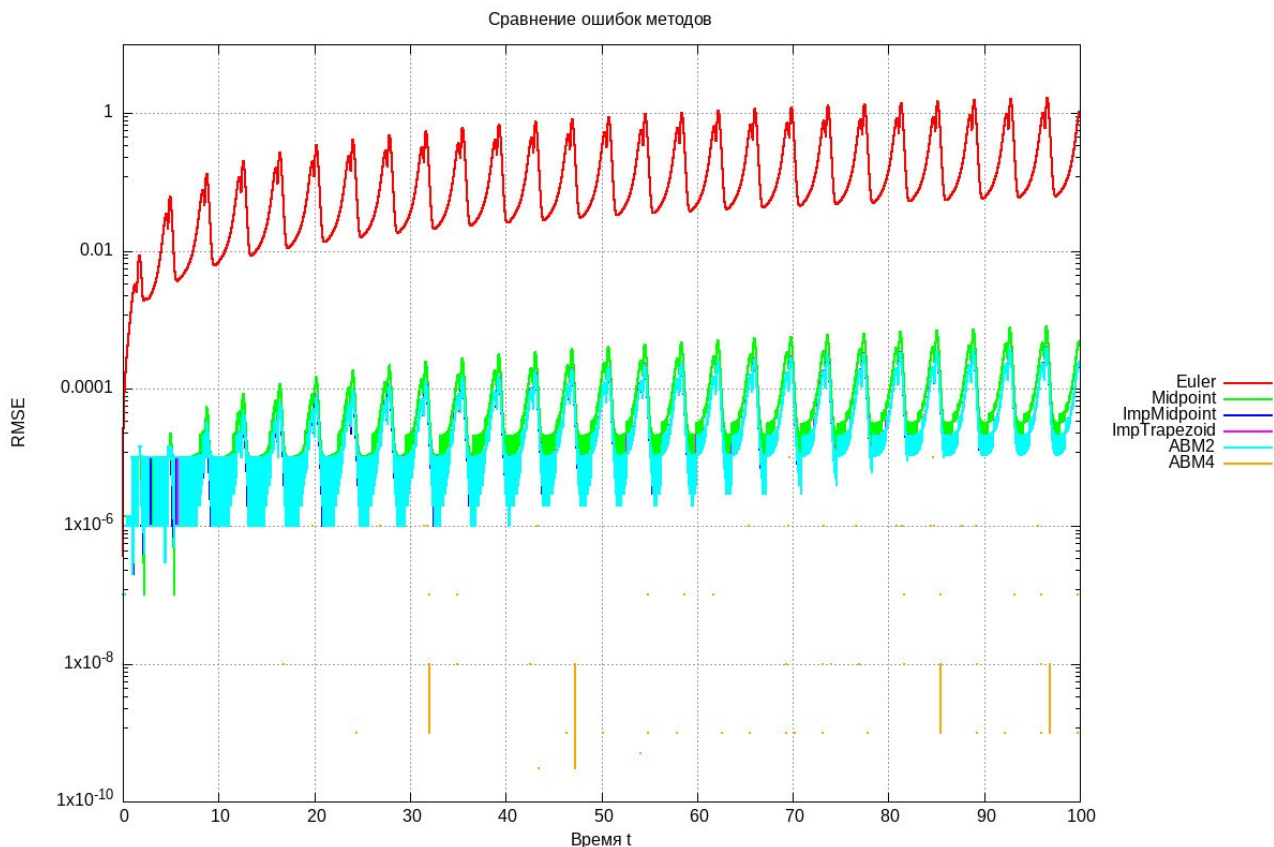
Построим график при  $h = 0.1$  и  $\mu = 2$ :



Построим график при  $h = 0.01$  и  $\mu = 2$ :



Построим график при  $h = 0.001$  и  $\mu = 2$ :



На графиках видно, что метод Адамса-Башфорта-Мултона 4 порядка наиболее похож на Рунге-Кутты 4 порядка, что логично, потом идёт метод Адамса-Башфорта-Мултона 2 порядка, который примерно на одном уровне с неявным методом трапеций, после идёт неявный и явный метод средней точки, самым неточным оказался метод Эйлера, что тоже логично, даже если основываться только на асимптотике ошибки.